

(114) 炭素鋼の焼戻し過程に現われる  $\chi$  相の結晶学的研究

東北大 金研 今井勇之進 小倉次夫  
東北大大学院・井上明久

## 1. 目的

前講で述べたように、炭素鋼の焼戻し過程には電子顕微鏡的に  $\chi$  相が観察される。 $\chi$  の結晶構造については、低温炭化物によって得たもの等についての Duggin による詳細な解析結果があり、またフェライトとの結晶方位関係についても考察がなされている<sup>1)</sup>。本実験においては、炭素鋼の焼戻し過程に現われる  $\chi$  相の結晶構造、およびそれとフェライトとの結晶方位関係などについて簡単な検討を加えた。

## 2. 実験方法

試料作成法については前講で述べた。

Duggin による  $\chi$  の結晶構造（底面心単斜晶、Space group  $C_2/c$ ）に基づいて  $\chi$  の逆格子空間图形を構成し、これと得られた電子回折像とを比較検討した。

## 3. 実験結果

(1)  $350^{\circ}\text{C}, 5\text{hr}$  焼戻した  $1.34\% \text{C}$  鋼の電子回折像の一例を図1に示す。これは、 $\chi$  の逆格子面图形 ( $110\chi$ ) とほぼ一致し、したがって  $\chi$  の電子回折像として指數付けする

ことができる。しかし  $\chi$  あるいは  $\text{Fe}_3\text{C}$  の電子回折像としては指數付けてできない。本実験では、この他にも  $\chi$  としてのみ指數付けてできる電子回折像が得られており、これから、炭素鋼の焼戻し過程には  $\chi$  が存在し、またその結晶構造は、低温炭化物によって得られた  $\chi$  の結晶構造とほぼ等しいといえる。しかしながら、この点は注意すべきである。すなわち、電子回折像の上では、 $\chi$  とフェライトとは、 $(111\chi)_{\chi} // (111\chi)_F$ ,  $[001]_{\chi} // [111]_{\chi}$ ,  $[3\bar{2}\bar{1}]_{\chi} // [1\bar{1}\bar{3}]_{\chi}$  などの方位関係をほぼ完全に満足している。しかし Duggin による  $\chi$  の結晶構造によつては、これらの関係は同時に満足されない。(図2.) したがって Duggin による  $\chi$  の結晶構造と焼戻し炭素鋼中のそれとは厳密には一致していないと考えられる。

(2) Duggin によって示されている結晶構造に基づいて  $\chi$  のステレオ投影図を描き、これとフェライトのステレオ投影図と、本実験で得た両者の結晶方位関係を最もよく満足するように重ねると図2. のようになる。これから、 $\chi$  とフェライトとの結晶方位関係は、ほぼ次のようになつていることがわかる。 $[100]_{\chi} // [\bar{1}\bar{2}1]_{\chi}$ ,  $[010]_{\chi} // [101]$ ,  $[001]_{\chi} // [\bar{1}\bar{1}1]_{\chi}$

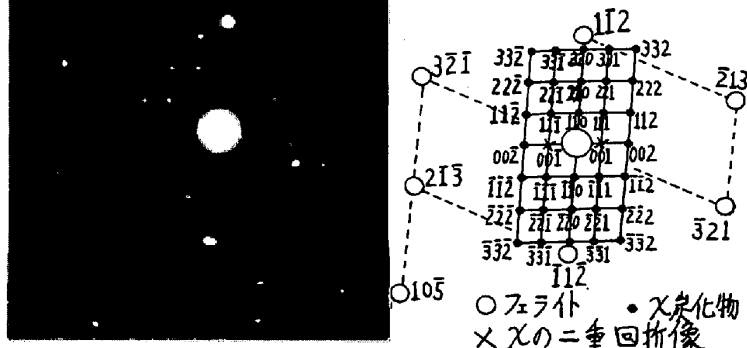
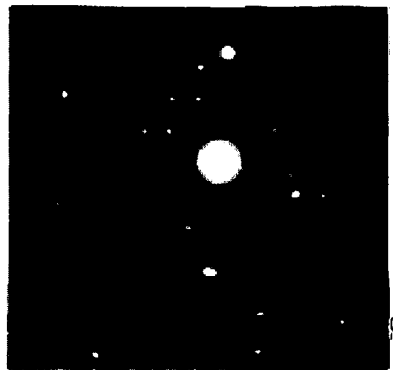


図1.  $\chi$ -炭化物の電子回折像およびその key diagram

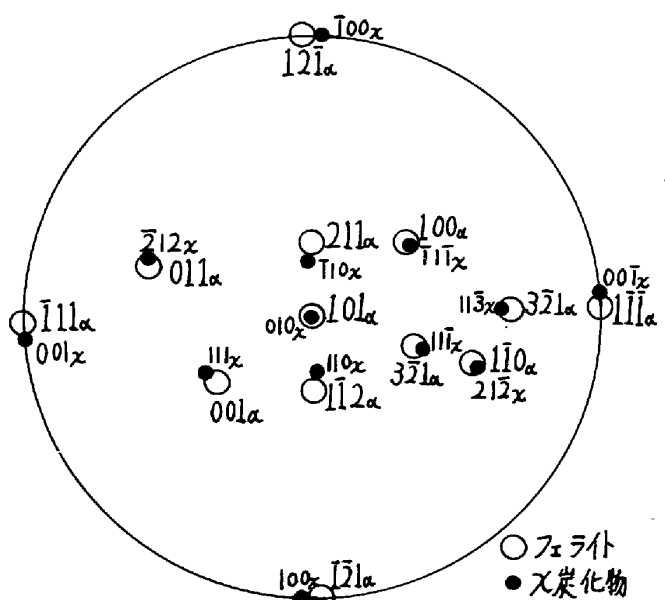


図2. フェライトと  $\chi$ -炭化物との結晶方位関係

1) M. J. Duggin : Trans. Met. Soc. AIME, 242 (1968) 1091